

Linienem-Gleichungen nach CIE 230-219

Farbschwellen-(0)Funktion $f(x) = \Delta Y = \Delta x Y$ [0]
 $\Delta Y = (A_1 + A_2 Y) \Delta x$ $A_1 = 1.5, A_2 = 0.1070, A_3 = 0.0058$

$$f_{lin}(x) = \frac{\Delta Y}{\Delta x} = \frac{A_1 + A_2 Y}{1 + b x} \quad b = A_2 Y_0 / A_1 \quad x = Y/Y_0 \quad [1]$$

$$f_{lin}(x) = \int \frac{\Delta Y}{f_{lin}(x)} dx = \int \frac{b}{1 + b x} dx \quad [2]$$

Beispiel für $L^*(x)$, ΔY_k mit $x = Y/Y_0, Y_0 = 1, b = 0.141$:

$$L^*(x) = \frac{L^*(x)}{L^*(x)} = \frac{\ln(1 + bx)}{\ln(1 + b)} \quad [3]$$

$$f_{lin}(x) = \frac{\Delta Y}{L^*(x)} = \frac{1 + b x}{1 + b} \quad [4]$$

egso1n-2n, egso1n-3n

Linienem-Gleichungen: Lauthen – Schallpegel 1)

Einfache Gleichung nach dem **Weber-Fechner-Gesetz** zwischen der Lautheit N^* und dem Schallpegel E

$$\frac{\Delta N^*}{N^*} = n \frac{\Delta E}{E + E_0} \quad [1]$$

Es wird an der Hörschwelle angenommen E_0

$$\frac{\Delta N^*}{N^*} = n \frac{\Delta E}{E + E_0} \quad [2]$$

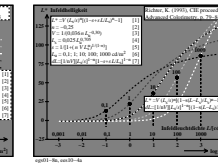
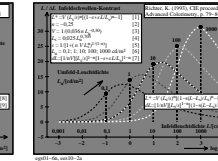
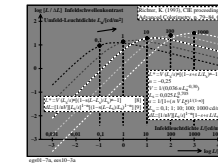
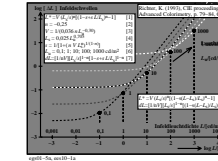
Beidseitige Integration und Forderung $N^* = 0$ für $E = 0$

$$N^* = N_0^* \left(1 + \frac{E}{E_0}\right)^n - 1 \quad [3]$$

Kleine Anstieg Schwellenfaktor s und $N^* = 0$ für $E = E_0$

$$N^* = N_0^* \left[\left(1 + s \frac{E - E_0}{E_0}\right)^p - 1 \right] \quad [4]$$

1) Zwickler, E., Falduter, E. (2007). Das Ohr als Nachschaltempfänger (die ear as information receiver). *Hörnd-Verlag*, 232 pages, see 133-139
 egso1n-2n



Linienem-Gleichungen: Helligkeit-Leuchtdichte 1)

Einfache Gleichung nach dem **Weber-Fechner-Gesetz** zwischen der Helligkeit L^* und der Leuchtdichte L

$$\frac{\Delta L^*}{L^*} = n \frac{\Delta L}{L} \quad [1]$$

Es wird an der Leuchtdichteschwelle angenommen L_0

$$\frac{\Delta L^*}{L^*} = n \frac{\Delta L}{L} \quad [2]$$

Beidseitige Integration und Forderung $L^* = 0$ für $L = L_0$

$$L^* = L_0^* \left(1 + \frac{L - L_0}{L_0}\right)^n - 1 \quad [3]$$

Kleine Anstieg Schwellenfaktor s und $L^* = 0$ für $L = L_0$

$$L^* = L_0^* \left[\left(1 + s \frac{L - L_0}{L_0}\right)^p - 1 \right] \quad [4]$$

1) Richter, Klaus. (1989). Autogenetic signals in colour vision and relation with the perceived colour order (in German). *Dis. Universitat Bonn*, 190 pages, see 115-123, 75-80, color-contrast (Helmholtz-Kontrast) <http://color.li.tu-berlin.de/egs.htm>
 2) Nevaldi, S.M., Niehara, D., Judd, D.R. (1945). Final report of the O.S.A. subcommittee on the physics of Munsell Color. *O.S.A. 414*, see 4-477
 3) ISO/CIE 11664-4:2019 Colorimetry, CIE 1976 L*a*b* colour space
 egso1n-2n, egso1n-3n

Linienem-Gleichungen: Helligkeit-Hellwertzweck

Richter 1) benutzte folgende Gleichung zur Annäherung zwischen der Helligkeit L^* und dem Hellwertzweck Y

$$L^* = L_0^* \left[\left(1 + s \frac{Y - Y_0}{Y_0}\right)^p - 1 \right] \quad [1]$$

Die Parameter sind für die **Munsell Value-Funktion** 2)

$$L^* = 2.5125 n - 0.4250 \quad Y_0 = 0.1551 \quad n = 0.3333 \quad [2]$$

Die Parameter sind für die **CIELAB-Helligkeits-Funktion** 3)

$$L^* = 116 (\sqrt[3]{Y} - 16) (0.8 - Y \cdot 100, Y_0 = 100) \quad [3]$$

$$L^* = 2.5125 n - 0.4250 \quad Y_0 = 0.1551 \quad n = 0.3333 \quad [4]$$

1) Richter, Klaus. (1989). Autogenetic signals in colour vision and relation with the perceived colour order (in German). *Dis. Universitat Bonn*, 190 pages, see 115-123, 75-80, color-contrast (Helmholtz-Kontrast) <http://color.li.tu-berlin.de/egs.htm>
 2) Nevaldi, S.M., Niehara, D., Judd, D.R. (1945). Final report of the O.S.A. subcommittee on the physics of Munsell Color. *O.S.A. 414*, see 4-477
 3) ISO/CIE 11664-4:2019 Colorimetry, CIE 1976 L*a*b* colour space
 egso1n-2n, egso1n-3n

TUB-Prüfvorlage egso; Achromatische Schwellen; 5 Leuchtdichten $L_0 = 0.1, 1, 10, 100, 1000 \text{ cd/m}^2$
 Schwellen $\Delta L (0,4s)$, Kontrast und Helligkeit; Experimente von **Lingelbach**; Gleichungen von **Richter**